

6. 斜面上での波高変化

⑦式をC, Dについて解き、⑤式に代入すると、

$$\eta_2 = \frac{2 \cdot A}{H + I + i(J+K)} \left\{ (-J_{0,1} + iJ_{1,1}) N_0 (2n\sqrt{x}) \right. \\ \left. + (N_{0,1} - iN_{1,1}) J_0 (2n\sqrt{x}) \right\} e^{i k_2 x_2} \quad (8)$$

$$H = h_1 h_3 k_1 k_3 (N_{1,1} J_{1,2} - N_{1,2} J_{1,1})$$

$$I = h_1 h_3 k_1 k_3 (N_{0,1} J_{0,2} - N_{0,2} J_{0,1})$$

$$J = h_1 h_3 k_1 k_3 (N_{0,1} J_{1,2} - N_{1,2} J_{0,1})$$

$$K = h_1 h_3 k_1 k_3 (N_{0,2} J_{1,1} - N_{1,1} J_{0,2})$$

Bessel, Neumann関数を次の漸近展開式を用いて近似する。例えば、

$$J_{0,1} = \frac{1}{\pi n \sqrt{x_1}} \left\{ \cos(2n\sqrt{x_1} - \frac{\pi}{4}) + \frac{1}{16n\sqrt{x_1}} \sin(2n\sqrt{x_1} - \frac{\pi}{4}) \right\}$$

$$N_{0,1} = \frac{1}{\pi n \sqrt{x_1}} \left\{ \sin(2n\sqrt{x_1} - \frac{\pi}{4}) - \frac{1}{16n\sqrt{x_1}} \cos(2n\sqrt{x_1} - \frac{\pi}{4}) \right\}$$

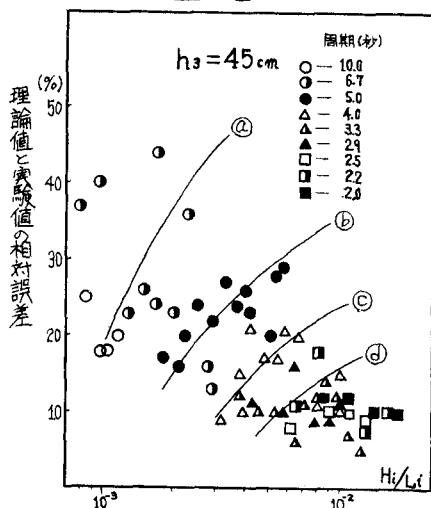
を、⑧式に代入して η_2 の絶対値をとると、

$$|\eta_2| = A \sqrt{\frac{x_2}{x_1}} \sqrt{1 + \frac{1}{4n^2 x_1} \sin 4n(\sqrt{x_1} - \sqrt{x_2})}$$

⑨式が斜面からの反射波を考慮に入れた場合の、斜面上を通過する微小振幅長波の波高を与える式である。

尚、⑨式の大きな $\sqrt{\dots}$ の中の \sin の項が反射の影響を表わし、この項を無視すると入射波だけを扱ったGreenの定理に一致する。

図-2



7. 実験値との比較と考察

図-4は⑨式から得られる理論値と実験値との相対誤差の総和を測点の数で除したもの(縦軸にとどめ), 横軸を実験波の入射波の波形勾配としたもので、パラメータは反射率である。図-3は理論値と実測値との比較で縦軸に波高、横軸に測点番号をとったものである。図-2はパラメータを周期として、図-4と同様に軸をとった。

斜面上を波が通過する際に、波高は単調に増加せず、反射波の影響によって図-3に見られる挙動を示すことがわかった。図-2において図上に引いた曲線は、斜面の底辺長と波長との比が同一である実験値を区分したものである。特にこの図で●印に注目すると周期が一定の時波形勾配が小になるほど理論値に近づく傾向がある。又波形勾配を固定してみると周期の短い波ほど理論値に近づく。図-4からは反射率が5~15%の間で、かつ波形勾配が大きい波ほど理論値に近くなることがある。

今後は波の扱いを、微小振幅から有限振幅にして厳密性を期したいと思う。尚、今回の実験を担当された当時学生であった柏木 茂忠君、道正 尚志君に感謝の意を表す。

図-3

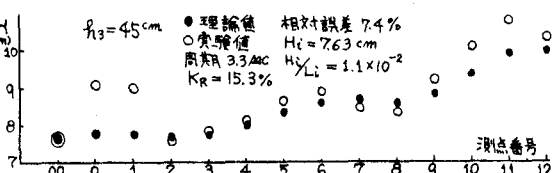


図-4

